

	<b>DÉCLARATION DE PERFORMANCE</b> Conformément au Règlement Produits de Construction n° 305/2011
	DoP n° 11/0396

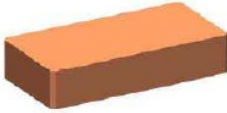
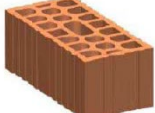
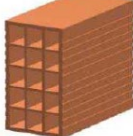
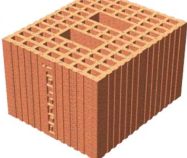
<b>1. Code d'identification unique du type de produit :</b>
BCR POLY SF

<b>2. Type, lot, numéro de série ou tout autre élément permettant l'identification du produit de construction conformément à l'article 11, paragraphe 4 :</b>
BCR + teneur en ml+ POLY SF. Exemple : BCR 400 POLY SF

<b>3. Utilisation(s) prévue(s) du produit de construction, conformément à la spécification technique harmonisée pertinente, telle que prévue par le fabricant :</b>
---

<b>Utilisation prévue</b>	Ancrage chimique pour l'ancrage de tiges filetées et de tiges à adhérence améliorée.					
<b>Mesures</b>	M8-8φ	M10-10φ	M12-12φ	M16		
<b>hef [mm]</b>	<b>Catégorie B</b>	80	85	95	105	
	<b>Catégorie c</b>	80 avec GC 12x80	85 avec GC 15x85	135 avec GC 15x135	85 avec GC 20x85	-
	<b>Catégorie d</b>	80	85	95	105	
	GC = Manchon en plastique perforé pour utilisation dans des briques creuses ou perforées					
<b>Type de support et résistance</b>	Maçonnerie en briques pleines (catégorie d'utilisation b) Maçonnerie en brique creuse ou perforée (catégorie d'utilisation c) Blocs de béton cellulaire autoclavés AAC (catégorie d'utilisation d) La classe de résistance du mortier de maçonnerie doit être d'au moins M 2,5 conformément à la norme EN 998-2:2010.					
<b>Matériau métallique de l'ancre et conditions d'exposition environnementale associées</b>	Tiges filetées: X1) structures soumises à des conditions intérieures sèches : éléments en acier galvanisé (galvanisé ou galvanisé à chaud) et en acier inoxydable A2, A4 ou en acier à haute résistance à la corrosion (HCR). X2) structures soumises à une exposition atmosphérique extérieure (y compris milieu industriel et marin) et à des conditions intérieures humides en permanence, s'il n'existe pas de conditions particulièrement agressives : éléments en acier inoxydable a4 ou en acier à haute résistance (HCR). X3) Structures soumises à une exposition atmosphérique externe (y compris les environnements industriels et marins) et à des conditions internes humides en permanence, si d'autres conditions particulièrement agressives existent. De telles conditions particulièrement agressives sont par exemple l'immersion permanente et alternée dans l'eau de mer ou dans la zone de pulvérisation d'eau de mer, l'atmosphère de chlorure des piscines ou des environnements intérieurs avec pollution chimique (par exemple dans les usines de désulfuration ou les tunnels routiers où des matériaux antigivrants sont utilisés) : en acier résistant à la corrosion (HCR)  Barres à adhérence améliorée classe B ou C selon EN 1992-1-1					
<b>Type de charge</b>	Charge statique et quasi-statique.					
<b>Températures de service</b>	a) de -40°C à +40°C (température maximale à court terme +40°C et température maximale continue à long terme +24°C). b) de -40°C à +50°C (température maximale à court terme +50°C et température maximale continue à long terme +40°C).					
<b>Catégorie d'utilisation</b>	Catégorie w/d et w/w : installation sur support humide et utilisation dans des structures soumises à des conditions sèches et humides. Forage avec perceuse.					

**ANNEXE : Type et résistance du support**

N° de brique	Nom de la brique – Catégorie d'utilisation Densité [kg/dm <sup>3</sup> ] Dimensions L x B x H [mm]	Image de brique
1	Brique pleine (b) EN 771-1 Brique complète $\rho=1700$ 120 x 240 x 60	
2	Brique pleine (b) EN 771-1 Rouge classique $\rho=1560$ 120x250x55	
3	Brique perforée (c) EN 771-1 UNI Double Brique $\rho=810$ 240x120x120	
4	Brique perforée (c) EN 771-1 Brique perforée $\rho=550$ 250x250x120	
5	Brique perforée (c) EN 771-1 Brique creuse RC 40 $\rho=600$ 555x195x275	
6	Brique perforée (c) EN 771-1 Porotherm 25 P+W $\rho=800$ 373 x 238 x 250	
7	Brique creuse (c) EN 771-1 HzB-1.0 1NF 12-1 $\rho=900$ 115 x 240 x 71	
8	Brique creuse (c) EN 771-1 Poroton $\rho=900$ 300 x 245 x 230	
9	AAC2 (d) EN 771-4 Climagold $\rho=300$ 625 x 200 x 360	
dix	AAC5 (d) EN 771-4 Bloc sismique $\rho=575$ 625x200x300	

--

<b>4. Nom, raison sociale ou marque déposée et adresse du fabricant conformément à l'article 11, paragraphe 5 :</b>
Bossong SpA - via Enrico Fermi 49/51 - 24050 Grassobbio ( Bg ) – Italie – <a href="http://www.bossong.com">www.bossong.com</a>

<b>5. Le cas échéant, nom et adresse du mandataire dont le mandat couvre les tâches visées à l'article 12, paragraphe 2:</b>
N'est pas applicable

<b>6. Système ou systèmes d'évaluation et de vérification de la constance des performances du produit de construction visé à l'annexe V:</b>
Système 1

<b>7. Dans le cas d'une déclaration des performances relative à un produit de construction entrant dans le champ d'application d'une norme harmonisée :</b>
N'est pas applicable

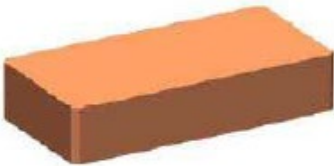
<b>8. Dans le cas d'une déclaration des performances relative à un produit de construction pour lequel une évaluation technique européenne a été délivrée :</b>
ETA- Denmark A/S a publié l'ETA-11/0396 sur la base de l'EAD 330076-01-0604. TZUS (No. 1020) a interprété : détermination du type de produit sur la base d'essais de type (y compris l'échantillonnage), de calculs de type, de valeurs tirées de tableaux ou d'une documentation descriptive du produit ; inspection initiale de l'usine de fabrication et contrôle de la production en usine ; surveillance continue, évaluation et vérification du contrôle de la production en usine, avec système d'attestation 1 et a délivré le certificat de conformité n° 1020-CPR-090-043643.

<b>9. Performances déclarées :</b>
------------------------------------

SPÉCIFICATION TECHNIQUE HARMONISÉE : EAD330076-01-0604				
CARACTÉRISTIQUES ESSENTIELLES	PERFORMANCES CONFORMES À L'ETA-11/0396			
Paramètres d'installation	M8	M10	M12	M16
j [mm]	8	dix	12	16
d <sub>0</sub> [mm] catégorie de lit (maçonnerie pleine - AAC)	dix	12	14	18
d <sub>0</sub> [mm] catégorie c (maçonnerie creuse ou perforée)	12	16	20	-
Type de manchon en plastique pour utilisation en catégorie C	CPG 12x80	CG 15x85 CG15x135	CG 20x85	-
d <sub>corriger</sub> [mm]	9	12	14	18
h <sub>1</sub> [mm]	h <sub>et f</sub> + 5 mm			
T <sub>inst</sub> [Nm] catégorie b (maçonnerie pleine)	5	8	dix	dix
T <sub>inst</sub> [Nm] catégorie c (maçonnerie creuse ou perforée)	3	4	6	-
T <sub>inst</sub> [Nm] catégorie d (brique AAC)	2	2	2	2

Brique	Conditions d'installation et d'utilisation	Diamètre	Facteur B
Brique n°1	d/d - w/d - w/w	M8-M10-M12	0,85
Brique n°2	d/d - w/d - w/w	M8 à M16 et φ8 à φ12	0,85
Brique n°3-4-5-6-7	d/d - w/d - w/w	M8+GC12x80 M10+GC15x85 M12+GC20x85	0,85
Brique n°8	d/d - w/d - w/w	M10+GC15x135	0,85
Brique n° 9-10	d/d - w/d - w/w	M8 à M16	0,89

### Brique pleine

Type de brique	Brique pleine	
Résistance à la compression [N/mm <sup>2</sup> ]	≥ 73	
Dimensions des briques [mm]	≥ 240 x 120 x 60	
Méthode de perçage	Forage à percussion rotative	

### Paramètres d'installation

Diamètre	Profondeur d'ancrage [mm]	Distance du bord [mm]	Espacement [mm]
		$C_{min} = C_{cr}$	$S_{min} = S_{cr, \perp} = S_{cr, \parallel}$
M8	80	120	240
M10	85	128	255
M12	95	143	285

### Valeurs caractéristiques de résistance aux charges de traction et de cisaillement

Diamètre	Profondeur d'ancrage [mm]	Catégories j/d, w/d et w/w Plage de température -40°C/+24°C/+40°C et -40°C/+40°C/+50°C	
		N <sub>Rk</sub> [kN]	V <sub>Rk,b</sub> [kN]
M8	80	1,50	4,50
M10	85	3h00	9h00
M12	95	3h00	9h00

1) Pour la planification selon TR 054 :  $N_{Rk} = N_{Rk,p} = N_{Rk,b}$ ;  $N_{Rk,s}$  selon Tableau C2 Annexe C2 ; Calcul  $N_{Rk,pb}$  Voir TR 054

2) Pour  $V_{Rk}$ , voir l'Annexe C2, Tableau C2 ; Calcul de  $V_{Rk,pb}$  et  $V_{Rk,c}$  Voir TR 054

### Déplacement

Diamètre	Profondeur d'ancrage [mm]	Déplacement sous charge de service Charge de traction et de cisaillement					
		F [kN]	$\delta N_0$ [mm]	$\delta N_{\infty}$ [mm]	F [kN]	$\delta V_0$ [mm]	$\delta V_{\infty}$ [mm]
M8	80	0,65	0,08	0,16	1,32	0,23	0,34
M10	85	1,03	0,07	0,16	2,94	0,48	0,72
M12	95	1,15	0,06	0,16	2,62	0,38	0,57

### Facteur de groupe

Configuration	Traction		Cisaillement parallèle au bord libre		Cisaillement perpendiculaire au bord libre	
	$\alpha_{g \parallel, N}$	$\alpha_{g \perp, N}$	$\alpha_{g \parallel, VII}$	$\alpha_{g \perp, VII}$	$\alpha_{g \parallel, V \perp}$	$\alpha_{g \perp, V \perp}$
$S \geq S_{min}$ et $C \geq C_{min}$	2.0	2.0	2.0	2.0	2.0	2.0

### Brique rouge classique

Type de brique	Brique rouge classique	
Résistance à la compression [N/mm <sup>2</sup> ]	≥ 21	
Dimensions des briques [mm]	≥ 250 x 120 x 55	
Méthode de perçage	Forage à percussion rotative	

#### Paramètres d'installation

Diamètre	Profondeur d'ancrage [mm]	Distance du bord [mm]		Espacement [mm]	
		C <sub>min</sub>	C <sub>cr</sub>	S <sub>min</sub>	S <sub>cr, ⊥</sub> = S <sub>cr, II</sub>
M8	80	50	120	50	240
M10	85	50	128	50	255
M12	95	50	143	50	285
M16	105	60	158	60	315

#### Valeurs caractéristiques de résistance aux charges de traction et de cisaillement

Diamètre	Profondeur d'ancrage [mm]	Catégories j/d, w/d et w/w Plage de température -40°C/+24°C/+40°C et -40°C/+40°C/+50°C			
		N <sub>Rk</sub> [kN]		V <sub>Rk,b</sub> [kN]	
		C = C <sub>min</sub> - S = S <sub>min</sub>	C = C <sub>cr</sub> - S = S <sub>cr</sub>	C = C <sub>min</sub> - S = S <sub>min</sub>	C = C <sub>cr</sub> - S = S <sub>cr</sub>
M8	80	2h00	2h00	4,50	5,50
M10	85	2,50	2,50	8h00	8h50
M12	95	3h00	3,50	11h00	11h50
M16	105	3,50	16h00	13h00	13h50

1) Pour la planification selon TR 054 : N<sub>Rk</sub> = N<sub>Rk,p</sub> = N<sub>Rk,b</sub>; N<sub>Rk,s</sub> selon Tableau C2 Annexe C2 ; Calcul N<sub>Rk,pb</sub> voir TR 054

2) Pour V<sub>Rk</sub>, voir l'Annexe C2, Tableau C2 ; Calcul de V<sub>Rk,pb</sub> et V<sub>Rk,c</sub> voir TR 054

#### Déplacement

Diamètre	Profondeur d'ancrage [mm]	Déplacement sous charge de service Charge de traction et de cisaillement					
		F [kN]	δ <sub>N0</sub> [mm]	δ <sub>N∞</sub> [mm]	F [kN]	δ <sub>v0</sub> [mm]	δ <sub>V∞</sub> [mm]
M8	80	0,71	0,08	0,16	1,62	0,27	0,41
M10	85	0,97	0,10	0,20	2,50	0,30	0,45
M12	95	1,31	0,11	0,22	3,42	0,34	0,51
M16	105	1,48	0,13	0,26	3,87	0,35	0,53

#### Facteur de groupe

Configuration	Traction		Cisaillement parallèle au bord libre		Cisaillement perpendiculaire au bord libre	
	α <sub>g II, N</sub>	α <sub>g ⊥, N</sub>	α <sub>g II, VII</sub>	α <sub>g ⊥, VII</sub>	α <sub>g II, V.L</sub>	α <sub>g ⊥, V.L</sub>
S ≥ S <sub>min</sub> et C ≥ C <sub>min</sub>	2.0	2.0	2.0	2.0	2.0	2.0

### Brique rouge classique

Type de brique	Brique rouge classique	
Résistance à la compression [N/mm <sup>2</sup> ]	≥ 21	
Dimensions des briques [mm]	≥ 250 x 120 x 55	
Méthode de perçage	Forage à percussion rotative	

#### Paramètres d'installation

Diamètre	Profondeur d'ancrage [mm]	Distance du bord [mm]		Espacement [mm]	
		C <sub>min</sub>	C <sub>cr</sub>	S <sub>min</sub>	S <sub>cr, ⊥</sub> = S <sub>cr,   </sub>
φ8	80	50	120	50	240
φdix	85	50	128	50	255
φ12	95	50	143	50	285

#### Valeurs caractéristiques de résistance aux charges de traction et de cisaillement

Diamètre	Profondeur d'ancrage [mm]	Catégories j/d, w/d et w/w Plage de température -40°C/+24°C/+40°C et -40°C/+40°C/+50°C			
		N <sub>Rk</sub> [kN]		V <sub>Rk,b</sub> [kN]	
		C = C <sub>min</sub> - S = S <sub>min</sub>	C = C <sub>cr</sub> - S = S <sub>cr</sub>	C = C <sub>min</sub> - S = S <sub>min</sub>	C = C <sub>cr</sub> - S = S <sub>cr</sub>
φ8	80	2,00	2h00	4,50	5,50
φdix	85	3h00	3h00	8h00	8h00
φ12	95	3h00	3,50	11h00	11h50

1) Pour la planification selon TR 054 : N<sub>Rk</sub> = N<sub>Rk,p</sub> = N<sub>Rk,b</sub> ; N<sub>Rk,s</sub> selon Tableau C2 Annexe C2 ; Calcul N<sub>Rk,pb</sub> voir TR 054

2) Pour V<sub>Rk</sub>, voir l'Annexe C2, Tableau C2 ; Calcul de V<sub>Rk,pb</sub> et V<sub>Rk,c</sub> Voir TR 054

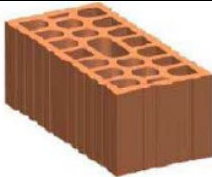
#### Déplacement

Diamètre	Profondeur d'ancrage [mm]	Déplacement sous charge de service Charge de traction et de cisaillement					
		F [kN]		δ <sub>N0</sub> [mm]		δ <sub>N∞</sub> [mm]	
		F [kN]	δ <sub>N0</sub> [mm]	δ <sub>N∞</sub> [mm]	F [kN]	δ <sub>V0</sub> [mm]	δ <sub>V∞</sub> [mm]
φ8	80	0,81	0,12	0,24	1,63	0,29	0,44
φdix	85	1,08	0,13	0,26	2,31	0,34	0,51
φ12	95	1,21	0,15	0,30	3,33	0,38	0,57

#### Facteur de groupe

Configuration	Traction		Cisaillement parallèle au bord libre		Cisaillement perpendiculaire au bord libre	
	α <sub>g II, N</sub>	α <sub>g ⊥, N</sub>	α <sub>g II, VII</sub>	α <sub>g ⊥, VII</sub>	α <sub>g II, V⊥</sub>	α <sub>g ⊥, V⊥</sub>
S ≥ S <sub>min</sub> et C ≥ C <sub>min</sub>	2.0	2.0	2.0	2.0	2.0	2.0

## Brique DOPPIO UNI

Type de brique	Brique DOPPIO UNI	
Résistance à la compression [N/mm <sup>2</sup> ]	≥ 18,3	
Dimensions des briques [mm]	≥ 240 x 120 x 120	
Méthode de perçage	Forage rotatif	

### Paramètres d'installation

Diamètre	Profondeur d'ancrage [mm]	Manche dxL [mm]	Distance du bord [mm]		Espacement [mm]	
			C <sub>min</sub>	C <sub>or</sub>	S <sub>min,II</sub> = S <sub>cr,II</sub>	S <sub>min,I</sub> = S <sub>cr,I</sub>
M8	80	12x80	120	120	240	120
M10	85	15x85	120	120	240	120
M12	85	20x85	120	120	240	120

### Valeurs caractéristiques de résistance aux charges de traction et de cisaillement

Diamètre	Profondeur d'ancrage [mm]	Manche dxL [mm]	Catégories j/d, w/d et w/w Plage de température -40°C/+24°C/+40°C et -40°C/+40°C/+50°C	
			N <sub>Rk</sub> [kN]	V <sub>Rk,b</sub> [kN]
M8	80	12x80	16h00	6h00
M10	85	15x85	5h00	6h50
M12	85	20x85	5,50	9h00

1) Pour la planification selon TR 054 : N<sub>Rk</sub> = N<sub>Rk,p</sub> = N<sub>Rk,b</sub> ; N<sub>Rk,s</sub> selon Tableau C2 Annexe C2 ; Calcul N<sub>Rk,pb</sub> voir TR 054

2) Pour V<sub>Rk</sub>, voir l'Annexe C2, Tableau C2 ; Calcul de V<sub>Rk,pb</sub> et V<sub>Rk,c</sub> voir TR 054

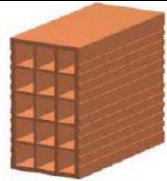
### Déplacement

Diamètre	Profondeur d'ancrage [mm]	Déplacement sous charge de service Charge de traction et de cisaillement					
		F [kN]	δN <sub>0</sub> [mm]	δN <sub>∞</sub> [mm]	F [kN]	δv <sub>0</sub> [mm]	δV <sub>∞</sub> [mm]
M8	80	1,48	0,06	0,16	1,72	0,20	0,30
M10	85	1,81	0,08	0,16	2,03	0,38	0,57
M12	85	2,09	0,10	0,20	2,93	0,34	0,51

### Facteur de groupe

Configuration	Traction		Cisaillement parallèle au bord libre		Cisaillement perpendiculaire au bord libre	
	α <sub>g,II,N</sub>	α <sub>g,I,N</sub>	α <sub>g,II,VII</sub>	α <sub>g,I,VII</sub>	α <sub>g,II,V.I</sub>	α <sub>g,I,V.I</sub>
S ≥ S <sub>min</sub> et C ≥ C <sub>min</sub>	2.0	2.0	2.0	2.0	2.0	2.0

### Brique perforée

Type de brique	Brique perforée	
Résistance à la compression [N/mm <sup>2</sup> ]	≥ 5,3	
Dimensions des briques [mm]	≥ 250 x 120 x 250	
Méthode de perçage	Forage rotatif	

#### Paramètres d'installation

Diamètre	Profondeur d'ancrage [mm]	Manche dxL [mm]	Distance du bord [mm]		Espacement [mm]	
			C <sub>min</sub>	C <sub>cr</sub>	S <sub>min,II</sub> = S <sub>cr,II</sub>	S <sub>min,I</sub> = S <sub>cr,I</sub>
M8	80	12x80	125	125	250	250
M10	85	15x85	125	125	250	250
M12	85	20x85	125	125	250	250

#### Valeurs caractéristiques de résistance aux charges de traction et de cisaillement

Diamètre	Profondeur d'ancrage [mm]	Manche dxL [mm]	Catégories j/d, w/d et w/w Plage de température -40°C/+24°C/+40°C et -40°C/+40°C/+50°C	
			N <sub>Rk</sub> [kN]	V <sub>Rk,b</sub> [kN]
M8	80	12x80	0,75	3h00
M10	85	15x85	2h00	3h00
M12	85	20x85	2h00	3h00

1) Pour la planification selon TR 054 : N<sub>Rk</sub> = N<sub>Rk,p</sub> = N<sub>Rk,b</sub> ; N<sub>Rk,s</sub> selon Tableau C2 Annexe C2 ; Calcul N<sub>Rk,pb</sub> voir TR 054

2) Pour V<sub>Rk</sub>, voir l'Annexe C2, Tableau C2 ; Calcul de V<sub>Rk,pb</sub> et V<sub>Rk,c</sub> voir TR 054

#### Déplacement

Diamètre	Profondeur d'ancrage [mm]	Déplacement sous charge de service Charge de traction et de cisaillement					
		F [kN]	δN <sub>0</sub> [mm]	δN <sub>∞</sub> [mm]	F [kN]	δv <sub>0</sub> [mm]	δv <sub>∞</sub> [mm]
M8	80	0,29	0,06	0,16	0,93	0,31	0,46
M10	85	0,73	0,08	0,16	1,08	0,23	0,34
M12	85	0,80	0,07	0,16	0,86	0,18	0,27

#### Facteur de groupe

Configuration	Traction		Cisaillement parallèle au bord libre		Cisaillement perpendiculaire au bord libre	
	α <sub>g,II,N</sub>	α <sub>g,I,N</sub>	α <sub>g,II,VII</sub>	α <sub>g,I,VII</sub>	α <sub>g,II,V,I</sub>	α <sub>g,I,V,I</sub>
S ≥ S <sub>min</sub> et C ≥ C <sub>min</sub>	2.0	2.0	2.0	2.0	2.0	2.0

### Brique brique creuse RC 40

Type de brique	Brique creuse RC 40	
Résistance à la compression [N/mm <sup>2</sup> ]	≥ 4,0	
Dimensions des briques [mm]	≥ 555 x 195 x 275	
Méthode de perçage	Forage rotatif	

#### Paramètres d'installation

Diamètre	Profondeur d'ancrage [mm]	Manche dxL [mm]	Distance du bord [mm]		Espacement [mm]	
			C <sub>min</sub>	C <sub>cr</sub>	S <sub>min,II</sub> = S <sub>cr,II</sub>	S <sub>min,I</sub> = S <sub>cr,I</sub>
M8	80	12x80	278	278	555	275
M10	85	15x85	278	278	555	275
M12	85	20x85	278	278	555	275

#### Valeurs caractéristiques de résistance aux charges de traction et de cisaillement

Diamètre	Profondeur d'ancrage [mm]	Manche dxL [mm]	Catégories j/d, w/d et w/w Plage de température -40°C/+24°C/+40°C et -40°C/+40°C/+50°C	
			N <sub>Rk</sub> [kN]	V <sub>Rk,b</sub> [kN]
M8	80	12x80	1,00	1,50
M10	85	15x85	1,00	1,50
M12	85	20x85	0,75	1,50

1) Pour la planification selon TR 054 : N<sub>Rk</sub> = N<sub>Rk,p</sub> = N<sub>Rk,b</sub> ; N<sub>Rk,s</sub> selon Tableau C2 Annexe C2 ; Calcul N<sub>Rk,pb</sub> voir TR 054

2) Pour V<sub>Rk</sub>, voir l'Annexe C2, Tableau C2 ; Calcul de V<sub>Rk,pb</sub> et V<sub>Rk,c</sub> voir TR 054

#### Déplacement

Diamètre	Profondeur d'ancrage [mm]	Déplacement sous charge de service Charge de traction et de cisaillement					
		F [kN]	δN <sub>0</sub> [mm]	δN <sub>∞</sub> [mm]	F [kN]	δV <sub>0</sub> [mm]	δV <sub>∞</sub> [mm]
M8	80	0,39	0,06	0,16	0,44	0,10	0,15
M10	85	0,44	0,06	0,16	0,63	0,18	0,27
M12	85	0,26	0,06	0,16	0,44	0,27	0,40

#### Facteur de groupe

Configuration	Traction		Cisaillement parallèle au bord libre		Cisaillement perpendiculaire au bord libre	
	α <sub>g,II,N</sub>	α <sub>g,I,N</sub>	α <sub>g,II,VII</sub>	α <sub>g,I,VII</sub>	α <sub>g,II,V,I</sub>	α <sub>g,I,V,I</sub>
S ≥ S <sub>min</sub> et C ≥ C <sub>min</sub>	2.0	2.0	2.0	2.0	2.0	2.0

### Brique Porotherm 25 P+W

Type de brique	Porotherm 25 P+W	
Résistance à la compression [N/mm <sup>2</sup> ]	≥ 15,0	
Dimensions des briques [mm]	≥ 373 x 238 x 250	
Méthode de perçage	Forage rotatif	

#### Paramètres d'installation

Diamètre	Profondeur d'ancrage [mm]	Manche dxL [mm]	Distance du bord [mm]		Espacement [mm]	
			C <sub>min</sub>	C <sub>cr</sub>	S <sub>min,II</sub> = S <sub>cr,II</sub>	S <sub>min,I</sub> = S <sub>cr,I</sub>
M8	80	12x80	187	187	373	250
M10	85	15x85	187	187	373	250
M12	85	20x85	187	187	373	250

#### Valeurs caractéristiques de résistance aux charges de traction et de cisaillement

Diamètre	Profondeur d'ancrage [mm]	Manche dxL [mm]	Catégories j/d, w/d et w/w Plage de température -40°C/+24°C/+40°C et -40°C/+40°C/+50°C	
			N <sub>Rk</sub> [kN]	V <sub>Rk,b</sub> [kN]
M8	80	12x80	2,50	2,50
M10	85	15x85	2,50	3,50
M12	85	20x85	3h00	3,50

- 1) Pour la planification selon TR 054 : N<sub>Rk</sub> = N<sub>Rk,p</sub> = N<sub>Rk,b</sub> ; N<sub>Rk,s</sub> selon Tableau C2 Annexe C2 ; Calcul N<sub>Rk,pb</sub> voir TR 054  
 2) Pour V<sub>Rk</sub>, voir l'Annexe C2, Tableau C2 ; Calcul de V<sub>Rk,pb</sub> et V<sub>Rk,c</sub> voir TR 054

#### Déplacement

Diamètre	Profondeur d'ancrage [mm]	Déplacement sous charge de service Charge de traction et de cisaillement					
		F [kN]	δN <sub>0</sub> [mm]	δN <sub>∞</sub> [mm]	F [kN]	δV <sub>0</sub> [mm]	δV <sub>∞</sub> [mm]
M8	80	0,92	0,06	0,16	0,78	0,23	0,34
M10	85	0,91	0,06	0,16	1,06	0,19	0,28
M12	85	1,02	0,06	0,16	1h00	0,31	0,46

#### Facteur de groupe

Configuration	Traction		Cisaillement parallèle au bord libre		Cisaillement perpendiculaire au bord libre	
	α <sub>g,II,N</sub>	α <sub>g,I,N</sub>	α <sub>g,II,VII</sub>	α <sub>g,I,VII</sub>	α <sub>g,II,V,I</sub>	α <sub>g,I,V,I</sub>
S ≥ S <sub>min</sub> et C ≥ C <sub>min</sub>	2.0	2.0	2.0	2.0	2.0	2.0

### Brique Hlz B – 1.0 1NF 12-1

Type de brique	HlzB-1.0 1NF 12-1	
Résistance à la compression [N/mm <sup>2</sup> ]	≥ 15,0	
Dimensions des briques [mm]	≥ 115 x 240 x 71	
Méthode de perçage	Forage rotatif	

#### Paramètres d'installation

Diamètre	Profondeur d'ancrage [mm]	Manche dxL [mm]	Distance du bord [mm]		Espacement [mm]	
			C <sub>min</sub>	C <sub>cr</sub>	S <sub>min,II</sub> = S <sub>cr,II</sub>	S <sub>min,I</sub> = S <sub>cr,I</sub>
M8	80	12x80	120	120	240	120
M10	85	15x85	120	120	240	120
M12	85	20x85	120	120	240	120

#### Valeurs caractéristiques de résistance aux charges de traction et de cisaillement

Diamètre	Profondeur d'ancrage [mm]	Manche dxL [mm]	Catégories j/d, w/d et w/w Plage de température -40°C/+24°C/+40°C et -40°C/+40°C/+50°C	
			N <sub>Rk</sub> [kN]	V <sub>Rk,b</sub> [kN]
M8	80	12x80	3,50	16h00
M10	85	15x85	4,50	5,50
M12	85	20x85	5h00	5,50

- 1) Pour la planification selon TR 054 : N<sub>Rk</sub> = N<sub>Rk,p</sub> = N<sub>Rk,b</sub> ; N<sub>Rk,s</sub> selon Tableau C2 Annexe C2 ; Calcul N<sub>Rk,pb</sub> voir TR 054  
 2) Pour V<sub>Rk</sub>, voir l'Annexe C2, Tableau C2 ; Calcul de V<sub>Rk,pb</sub> et V<sub>Rk,c</sub> voir TR 054

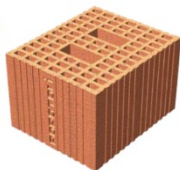
#### Déplacement

Diamètre	Profondeur d'ancrage [mm]	Déplacement sous charge de service Charge de traction et de cisaillement					
		F [kN]	δN <sub>0</sub> [mm]	δN <sub>∞</sub> [mm]	F [kN]	δV <sub>0</sub> [mm]	δV <sub>∞</sub> [mm]
M8	80	1.19	0,12	0,24	1,25	0,17	0,25
M10	85	1,69	0,07	0,16	2,23	0,69	1,03
M12	85	1,78	0,06	0,16	1,65	0,13	0,19

#### Facteur de groupe

Configuration	Traction		Cisaillement parallèle au bord libre		Cisaillement perpendiculaire au bord libre	
	α <sub>g,II,N</sub>	α <sub>g,I,N</sub>	α <sub>g,II,VII</sub>	α <sub>g,I,VII</sub>	α <sub>g,II,V,I</sub>	α <sub>g,I,V,I</sub>
S ≥ S <sub>min</sub> et C ≥ C <sub>min</sub>	2.0	2.0	2.0	2.0	2.0	2.0

### Brique Poroton P800

Type de brique	Poroton P800	
Résistance à la compression [N/mm <sup>2</sup> ]	≥ 15,0	
Dimensions des briques [mm]	≥ 300 x 245 x 230	
Méthode de perçage	Forage rotatif	

#### Paramètres d'installation

Diamètre	Profondeur d'ancrage [mm]	Manche dxL [mm]	Distance du bord [mm]		Espacement [mm]	
			C <sub>min</sub>	C <sub>cr</sub>	S <sub>min,II</sub> = S <sub>cr,II</sub>	S <sub>min,I</sub> = S <sub>cr,I</sub>
M10	135	15x135	100	100	300	230

#### Valeurs caractéristiques de résistance aux charges de traction et de cisaillement

Diamètre	Profondeur d'ancrage [mm]	Manche dxL [mm]	Catégories j/d, w/d et w/w Plage de température -40°C/+24°C/+40°C et -40°C/+40°C/+50°C	
			N <sub>Rk</sub> [kN]	V <sub>Rk,b</sub> [kN]
M10	135	15x135	3,50	5,50

1) Pour la planification selon TR 054 : N<sub>Rk</sub> = N<sub>Rk,p</sub> = N<sub>Rk,b</sub>; N<sub>Rk,s</sub> selon Tableau C2 Annexe C2 ; Calcul N<sub>Rk,pb</sub> voir TR 054

2) Pour V<sub>Rk</sub>, voir l'Annexe C2, Tableau C2 ; Calcul de V<sub>Rk,pb</sub> et V<sub>Rk,c</sub> voir TR 054

#### Déplacement

Diamètre	Profondeur d'ancrage [mm]	Déplacement sous charge de service Charge de traction et de cisaillement					
		F [kN]	δN <sub>0</sub> [mm]	δN <sub>∞</sub> [mm]	F [kN]	δv <sub>0</sub> [mm]	δV <sub>∞</sub> [mm]
M10	135	1,22	0,11	0,22	1,61	0,24	0,36

#### Facteur de groupe

Configuration	Traction		Cisaillement parallèle au bord libre		Cisaillement perpendiculaire au bord libre	
	α <sub>g II, N</sub>	α <sub>g I, N</sub>	α <sub>g II, VII</sub>	α <sub>g I, VII</sub>	α <sub>g II, V⊥</sub>	α <sub>g I, V⊥</sub>
S ≥ S <sub>min</sub> et C ≥ C <sub>min</sub>	2.0	2.0	2.0	2.0	2.0	2.0

## Brique Climagold AAC2

Type de brique	Climagold	
Résistance à la compression [N/mm <sup>2</sup> ]	≥ 1,8	
Dimensions des briques [mm]	≥ 625 x 200 x 360	
Méthode de perçage	Forage rotatif	

### Paramètres d'installation

Diamètre	Profondeur d'ancrage [mm]	Distance du bord [mm]		Espacement [mm]	
		C <sub>min</sub>	C <sub>cr</sub>	S <sub>min</sub>	S <sub>cr, ⊥</sub> = S <sub>cr, II</sub>
M8	80	50	120	50	240
M10	85	50	128	50	255
M12	95	50	143	50	285
M16	105	60	158	60	315

### Valeurs caractéristiques de résistance aux charges de traction et de cisaillement

Diamètre	Profondeur d'ancrage [mm]	Catégories j/d, w/d et w/w Plage de température -40°C/+24°C/+40°C et -40°C/+40°C/+50°C			
		N <sub>Rk</sub> [kN]		V <sub>Rk,b</sub> [kN]	
		C = C <sub>min</sub> - S = S <sub>min</sub>	C = C <sub>cr</sub> - S = S <sub>cr</sub>	C = C <sub>min</sub> - S = S <sub>min</sub>	C = C <sub>cr</sub> - S = S <sub>cr</sub>
M8	80	1h00	1,50	1h00	1,50
M10	85	1,50	2h00	1,50	1,50
M12	95	2h00	2,50	2,50	2,50
M16	105	2h00	2,50	2,50	2,50

1) Pour la planification selon TR 054 : N<sub>Rk</sub> = N<sub>Rk,p</sub> = N<sub>Rk,b</sub>; N<sub>Rk,s</sub> selon Tableau C2 Annexe C2 ; Calcul N<sub>Rk,pb</sub> voir TR 054

2) Pour V<sub>Rk</sub>, voir l'Annexe C2, Tableau C2 ; Calcul de V<sub>Rk,pb</sub> et V<sub>Rk,c</sub> voir TR 054

### Déplacement

Diamètre	Profondeur d'ancrage [mm]	Déplacement sous charge de service Charge de traction et de cisaillement					
		F [kN]	δ <sub>N0</sub> [mm]	δ <sub>N∞</sub> [mm]	F [kN]	δ <sub>v0</sub> [mm]	δ <sub>V∞</sub> [mm]
M8	80	0,63	0,10	0,20	0,65	0,31	0,47
M10	85	0,83	0,12	0,24	0,69	0,34	0,51
M12	95	1,01	0,15	0,30	0,90	0,38	0,57
M16	105	0,99	0,16	0,32	0,98	0,40	0,60

### Facteur de groupe

Configuration	Traction		Cisaillement parallèle au bord libre		Cisaillement perpendiculaire au bord libre	
	α <sub>g II, N</sub>	α <sub>g ⊥, N</sub>	α <sub>g II, VII</sub>	α <sub>g ⊥, VII</sub>	α <sub>g II, V.L</sub>	α <sub>g ⊥, V.L</sub>
S ≥ S <sub>min</sub> et C ≥ C <sub>min</sub>	2.0	2.0	2.0	2.0	2.0	2.0

### Bloc sismique en brique AAC5

Type de brique	Bloc sismique	
Résistance à la compression [N/mm <sup>2</sup> ]	≥ 5,0	
Dimensions des briques [mm]	≥ 625 x 200 x 300	
Méthode de perçage	Forage rotatif	

#### Paramètres d'installation

Diamètre	Profondeur d'ancrage [mm]	Distance du bord [mm]		Espacement [mm]	
		C <sub>min</sub>	C <sub>cr</sub>	S <sub>min</sub>	S <sub>cr, ⊥</sub> = S <sub>cr, II</sub>
M8	80	50	120	50	240
M10	85	50	128	50	255
M12	95	50	143	50	285
M16	105	60	158	60	315

#### Valeurs caractéristiques de résistance aux charges de traction et de cisaillement

Diamètre	Profondeur d'ancrage [mm]	Catégories j/d, w/d et w/w Plage de température -40°C/+24°C/+40°C et -40°C/+40°C/+50°C			
		N <sub>Rk</sub> [kN]		V <sub>Rk,b</sub> [kN]	
		C = C <sub>min</sub> - S = S <sub>min</sub>	C = C <sub>cr</sub> - S = S <sub>cr</sub>	C = C <sub>min</sub> - S = S <sub>min</sub>	C = C <sub>cr</sub> - S = S <sub>cr</sub>
M8	80	1,00	2,50	1,00	3,50
M10	85	1,50	3,00	1,50	4,00
M12	95	2,00	3,50	2,50	4,00
M16	105	2,00	4,00	2,50	4,00

- 1) Pour la planification selon TR 054 : N<sub>Rk</sub> = N<sub>Rk,p</sub> = N<sub>Rk,b</sub>; N<sub>Rk,s</sub> selon Tableau C2 Annexe C2 ; Calcul N<sub>Rk,pb</sub> voir TR 054  
 2) Pour V<sub>Rk</sub>, voir l'Annexe C2, Tableau C2 ; Calcul de V<sub>Rk,pb</sub> et V<sub>Rk,c</sub> voir TR 054

#### Déplacement

Diamètre	Profondeur d'ancrage [mm]	Déplacement sous charge de service Charge de traction et de cisaillement					
		F [kN]	δ <sub>N0</sub> [mm]	δ <sub>N∞</sub> [mm]	F [kN]	δ <sub>v0</sub> [mm]	δ <sub>V∞</sub> [mm]
M8	80	1.10	0,08	0,16	1,29	0,31	0,47
M10	85	1.22	0,10	0,20	1,53	0,32	0,48
M12	95	1,52	0,11	0,22	1,55	0,43	0,65
M16	105	1,74	0,11	0,22	1,58	0,45	0,68

#### Facteur de groupe

Configuration	Traction		Cisaillement parallèle au bord libre		Cisaillement perpendiculaire au bord libre	
	α <sub>g II, N</sub>	α <sub>g ⊥, N</sub>	α <sub>g II, VII</sub>	α <sub>g ⊥, VII</sub>	α <sub>g II, V.L</sub>	α <sub>g ⊥, V.L</sub>
S ≥ S <sub>min</sub> et C ≥ C <sub>min</sub>	2.0	2.0	2.0	2.0	2.0	2.0

SPÉCIFICATION TECHNIQUE HARMONISÉE : EAD330076-01-0604	
CARACTÉRISTIQUES ESSENTIELLES	PERFORMANCE
Réaction au feu	Lors de l'application finale, les épaisseurs de couche de le produit mesure environ 1 ÷ 2 mm et plus de ces produits sont classés en classe A1 selon la décision IL Y A 96/603/CE . Donc on peut supposer que le matériel classeur (résine synthétique ou un mélange de résine synthétique et cimentaire ) en relation avec l' ancrage métallique, en cours d'utilisation demande finale, Pas apporte une contribution au développement du feu ou à un feu pleinement développé et ce n'est pas le cas aucune influence sur le risque de dégagement de fumée .

SPÉCIFICATION TECHNIQUE HARMONISÉE : EAD330076-01-0604	
CARACTÉRISTIQUES ESSENTIELLES	PERFORMANCE
RÉSISTANCE AU FEU	NPD

LÉGENDE DES SYMBOLES	
d	Diamètre du boulon ou de la partie filetée
j <sub>0</sub>	Diamètre du trou
r <sub>épare</sub>	Diamètre du trou dans l'objet à fixer
hef	Profondeur d'ancrage efficace
heure <sub>1</sub>	Profondeur du trou
T <sub>inst.</sub>	Couple de serrage
S <sub>min</sub>	Empattement minimal
C <sub>min</sub>	Distance minimale des bords
N <sub>Rk</sub>	Résistance à la traction caractéristique pour un ancrage simple
V <sub>Rk</sub>	Résistance caractéristique au cisaillement pour chaque ancrage
γ <sub>Mm</sub>	Coefficient partiel de sécurité
S <sub>cr,N</sub>	Espacement pour assurer la transmission de la charge caractéristique pour un seul ancrage
C <sub>cr,N</sub>	Distance du bord pour assurer la transmission de la charge caractéristique pour un seul ancrage
β	Facteur selon EAD330076-01-0604
α	Facteur de groupe
F	Charge de service
δ <sub>0</sub>	Déplacement à court terme sous charge de service
δ <sub>∞</sub>	Voyages de longue durée sous charge de service
NPD	Performance non déclarée

#### Règlement REACH n°1907/2006

Cher client,

Nous vous informons que notre entreprise au sein de la chaîne d'approvisionnement du règlement REACH est classée comme utilisateur en aval de substances et préparations.

Concernant le produit défini au point 1, nous souhaitons confirmer qu'il ne contient actuellement pas de substances considérées comme SVHC sur la base de la liste publiée sur :

[http://echa.europa.eu/chem\\_data/candidate\\_list\\_table\\_en.asp](http://echa.europa.eu/chem_data/candidate_list_table_en.asp).

La fiche de données de sécurité du produit peut être demandée auprès de notre bureau technique : [tek@bossong.com](mailto:tek@bossong.com) ou téléchargée sur notre site Internet [www.bossong.com](http://www.bossong.com).

**10. Les performances du produit visé aux points 1 et 2 sont conformes aux performances déclarées visées au point 9.**

**Cette déclaration des performances est établie sous la responsabilité exclusive du fabricant visé au point 4.**

**Signé pour et au nom de:**

Nom et fonction	Lieu et date de sortie	Signature
Andrea Taddei Directeur général	Grassobbio ( Bg ) - Italie 29.03.2024	